

### III-86 MALS工法による超軟弱粘土の脱水について

文部省立大学工学部

正員 三瀬 貞

ク

学生員 ○柳 大夏

ク

ク 山田 優

MALS工法における粘土の脱水現象を小規模な室内実験により検討し、その脱水機構について簡単な理論的考察を行つた。

#### 1. 試験装置および方法

内径56cm、高さ90cmの円筒型水槽に粘土を70cmの高さまで充填し、その中心に直径10cmの半透膜を有する有孔円筒管を挿入し、円筒管の内部に溶液を入れた。また透明なアクリル樹脂製の直径30cm、高さ80cmの小型円筒型水槽を使って間げき水圧の分布を調べた。この間げき水圧の測定にはひずみ管型水柱を使用したが特にひずみ管内の水の蒸発を防ぐために、その表面に流动パラフィンを浮べた。

試験試料には土が80%，含水比110%の粘土を使用した。粘土を水槽中で十分にこね返した後、半透膜を有する有孔円筒管を挿入して、溶液のみわりに水を充満させておいて2週間位静置した。これは粘土中に有孔円筒管を挿入する際と上昇した間げき水圧の低下有待である。強度の変化の測定には断面積10cm<sup>2</sup>のコーンを先端につけて2重管式ベネトロメーターを使用した。なお測定器の自重の影響を防ぐためにCounter Balance Weightを用いた。

#### 2. 実験結果

測定は約80日近く行つた。図-1に示した脱水量曲線よりみると80日で90%近くの脱水が行なわれている。一方実測した粘土の含水比によれば初期含水比108%であったものが98%と10%近く低下している。このときのコーン貫入抵抗値は図-2に示されるところありで、50日の経過で0.2%、80日の経過で0.55%となりの強度増加を示し、またYの分布は深さ方向に一様である。間げき水圧の分布は図-3のように負の値を生じている。これは水に張力が作用したためである。

#### 3. 理論的考察

理論的に考察するため、次のよう仮定する。

- (1). 土は等方、均質である。(2). 浸透圧は均等に加わり常に一定値を示す。(3). 脱水量は浸透圧に比例する。
- (4). 脱水速度は浸透圧速度に比例する。

今、試料断面積をA、間げき率をPとい、半透膜側の試料面を厚さとする、一次元の脱水流と考えてよいより、厚さからXなる距離にある断面を流れる水の量△Wは、脱水速度をV<sub>x</sub>とするとdt時間では次式で表される。

$$\Delta W = P \cdot A \cdot V_x \cdot dt \quad \text{--- (1)}$$

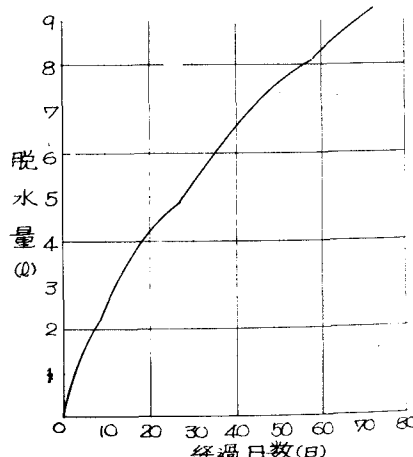


図-1 脱水量～時間曲線

$$\text{仮定(4)より } U_i = -P_i \frac{\partial \pi}{\partial z} \quad (2)$$

こゝに  $P_i$  は浸透圧、 $\pi$  による逆浸透圧係数とする。

(1), (2)より

$$\Delta W = -P_i \cdot P \cdot A \frac{\partial \pi}{\partial z} \cdot dt \quad (3)$$

$$(3)式より d(ΔW) = -P_i \cdot P \cdot A \frac{\partial^2 \pi}{\partial z^2} \cdot dx \cdot dt \quad (4)$$

$d(\Delta W)$  は  $x$  と  $x+dx$  における垂直断面でみこきめの微小 element あたりの脱水量  $\kappa$  等しい。故に次式である。

$$d(\Delta W) = AC_1 \frac{\partial \pi}{\partial z} \cdot dx \cdot dt \quad (5)$$

こゝに  $C_1$  は単位体積重量  $\kappa$  に関する定数。

(4), (5)より

$$\frac{\partial \pi}{\partial z} = -\frac{P_i}{C_1} \cdot \frac{\partial^2 \pi}{\partial z^2} \quad (6)$$

一方仮定(3)より  $\frac{\partial \pi}{\partial t} = -\alpha \frac{\partial \pi}{\partial z}$  とおけば

$$(6)式は  $\frac{\partial \pi}{\partial t} = \beta \frac{\partial^2 \pi}{\partial z^2} \quad (7)$$$

こゝに  $\beta = \frac{P_i}{\alpha C_1}$  ; 逆浸透係数と呼ぶ

式(7)は熱伝導型の式である。

今こゝも円筒座標で書きなあし、鉛直方向の流れを無視すると、軸対称の関係より

(7)式は次式となる。

$$\frac{\partial \pi}{\partial t} = \beta \left( \frac{\partial^2 \pi}{\partial r^2} + \frac{1}{r} \frac{\partial \pi}{\partial r} \right) \quad (8)$$

$\pi$  を求めるために  $R$  を  $r$  のみの関数、 $T$  を  $t$  のみの関数とすれば  $\pi = RT$   $\cdots$  (9) とおける。

したがって(8)式は

$$\frac{1}{\beta T} \frac{dT}{dt} = \frac{1}{R} \frac{d^2 R}{dr^2} + \frac{1}{rR} \frac{dR}{dr} \quad (10)$$

(10)式の両辺を常数  $-K^2$  と等しくおくと

$$\frac{1}{\beta T} \frac{dT}{dt} = -K^2 \quad (11)$$

$$(11)式を解くと  $T = C_2 e^{-K^2 \beta t} \quad (12)$$$

$$\frac{1}{R} \frac{d^2 R}{dr^2} + \frac{1}{rR} \frac{dR}{dr} = -K^2 \quad (13)$$

$$(13)式を解くと  $R = A J(Kr) + B Y(Kr) \quad (14)$$$

$J_r$  は 0 次のヤイ種 Bessel 関数。

$Y_r$  は 0 次のヤツ種 Bessel 関数

A, B, C<sub>2</sub> は積分常数、故に(14)式は  $\pi = \{AJ_r(Kr) + BY_r(Kr)\} e^{-K^2 \beta t} \quad (15)$  となる。

(15)式に境界条件を代入することにより、浸透圧  $\pi$  やある、粘土の脱水機構が明らかになる。この場合、水の補充がないときは、時間より、脱水によって不飽和状態となり、またその際、脱水量と变形量は必ずしも対応しているため、不飽和状態をも含めた脱水機構については別途検討中である。

この実験を行なうにあたり、金木町子、由良研究員、その他の方々に御協力いただいたことを感謝する。

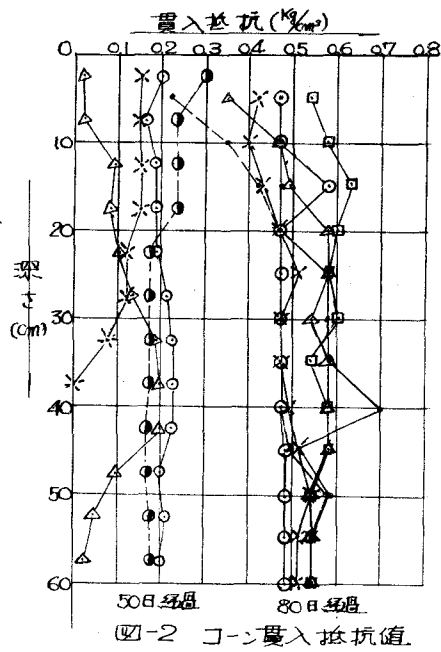


図-2 コーン貫入抵抗値

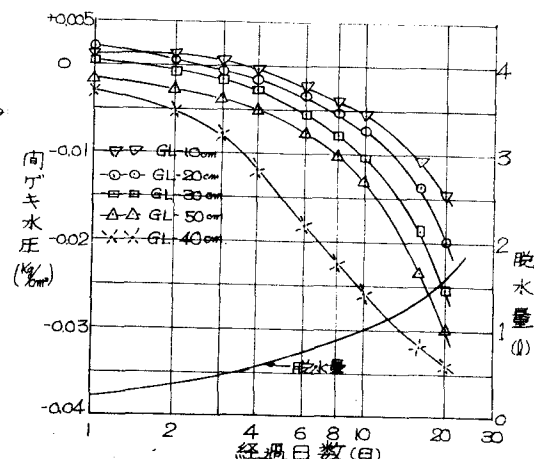


図-3 向ヶ谷水压へ時間曲線